

Diabetiklerin dişeti ve alveol kemiği belirtileri üzerinde incelemeler

(Bir önceki sayıdan devam)

MATERIAL VE METOD :

Elektronmikroskopu ile yapılan çalışmamızda iki grup materyal kullanılmıştır.

I. Diabetli üç hastadan alınan dişeti ve kontrol olarak sağlam ve sağlıklı görünen bir insandan alınan dişeti.

II. Deneyel olarak alloksan diabeti yapılan 10 tane albino-vistar tipi sincanın ve kontrol grubu olarak aynı tip 5 normal sincanın alt çene kemikleri.

Araştırmaya İstanbul Üniversitesi Diş Hekimliği Fakültesine başlanıldı. Alınan materyal fiks edilip, % 75 alkol içinde Berlin'e götürüldü. İleriki çalışmalara Elektronenmikroskopischen Labor, der Biophysikalischen Abteilung, der Klinik und Poliklinik für Zahn-Mund-und Kieferkrankheiten, der Freien Universität, Berlin, de Professor Doktor H. Lenz'in yönetiminde devam edildi.

I — DİŞETİ

1 — Materyal :

Materyel, İstanbul Üniversitesi, Çapa ve Tıp Fakültesi I İç Hastaları Kliniği ve Cerrahpaşa Tıp Fakültesi Tatbiki Farmakoloji ve Tedavi Kliniğinden Diş Hekimliği Fakültesine gönderilen diabetik has-

Komplikasyonları

Vaka	Prot.	Seks	Diabet Tipi ve Süresi	Kalp-Damar Sistemi	Sinir Sistemi	Deri tansiyonu	Hiper tensiyon	Tedavi	Ağzı Hijiyeni
1	9	K	48 Erişkin tipi Herediter 16 Yıllık	Kroner yetersizliği retino-	+	+	+	Biguanidin türü	Normal
2	3	E	60 Erişkin tipi 18 Yıllık Kötü ayarlı	Retinopati	+	+	-	Sulfamiltüre	Çok iyi
3	5	E	37 Genç tipi 7 Yıllık Kötü ayarlı	retinopati.	+	+	-	40 Ü. I.	Normal

Tablo 1 —.

taların üçünden, kontrol olarak klinik bulgular ve anemneze göre sağlıktı, 44 yaşında bir kadından alındı.

Her hasta için açılan dosyaya anamnez, klinik ve diabetolojik bulgu ve komplikasyonlar yazıldı (Tablo 4).

2 — Metod :

A — Biopsi alma :

Biopsi alınacak kişilere % 4 lük novakain ile mandibular ve bukkal anestezi yapıldı. Alt premolerler bölgesinden interdental papill «V» şeklinde çıkarıldı.

B — Dokuların fiksasyonu :

- a) Parçalar glutaraldehidin pH'sı 7,2 - 7,4 e ayarlanmış fosfat tampon içindeki % 5 lik çözeltisi içine alındı. Jiletle ortalama 1 mm³ lük parçalara bölündü ve buz dolabında 6-7 saat bırakıldı.
- b) Parçalar serum fizyolojik ile yıkandı.
- c) Parçalar bir gece buz dolabında pH sı 7,2 - 7,4 e ayarlanmış fosfat tampon içinde bekletildi.
- d) Veronalasetat ile tamponlanarak pH sı 7,2 - 7,4 e ayarlanmış osmiumtetraoksitin % 2 lik, isotonik çözeltisi içine konan parçalar, buz dolabının sebzeli gözünde 2 saat süreyle fikse edildi.
- e) Serum fizyolojik ile parçalar yıkandı.

C — Parçalardan su alınması :

- a) Parçalar 5 dakika % 50 alkol içinde bekletildi.
- b) Parçalar 48 saat % 75 alkol içinde bekletildi.
- c) Parçalar 5 dakika % 95 alkol içinde bekletildi.
- d) Parçalar 2 x 10 dakika absolut alkolde bekletildi.
- e) Parçalar 1 x 30 dakika absolut alkolde bekletildi.
- f) Parçalar stirol ile yıkandı.
- g) Parçalar 3 x 30 dakika stirol de bekletildi.

D — Bloklama :

- a) Parçalar, içinde katalizatör ve aktivatör bulunan mikropalstirol karışımında (1 : 1) bir saat süre ile bırakıldı.

b) İçinde katalizatör ve aktivatör bulunan mikropalde parçalar oda temperaturünde 24 saat bekletildi.

c) Präparatlar mikropal ile ortaboy jelatin kapsüllere konuldu. İlerde bloklar içinde hava kabarcıkları kalmaması için, préparatlara 15 dakika süreyle vakuum uygulandı.

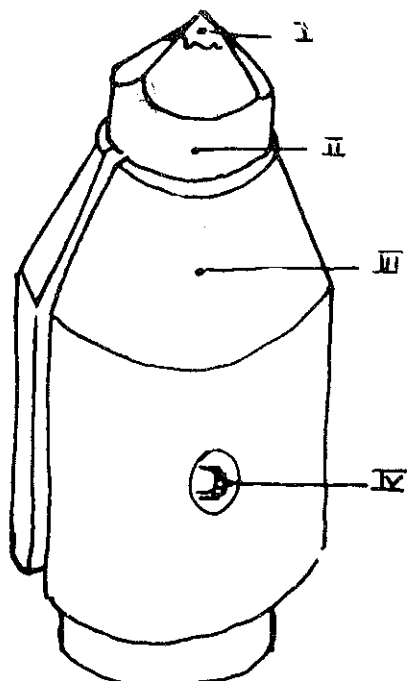
d) Polimerizasyon təmamlanması üçün, kapsüller 12-36 saat 60° C a ayarlanmış etüvde bırakıldı.

E — Ultrince kesimlere hazırlık :

a) Sıcak su içinde jelatin kapsüller sıyrıldı.

b) Bloklar préparat tutucusuna tespit edildi. (Şekil 5).

c) Piyesaman ucuna takılan çeşitli numaralardaki fissür frezlerle bloka, biopsi tepede kalacak şekilde kare prima formu makroskopik olarak verildi (Şekil 6).



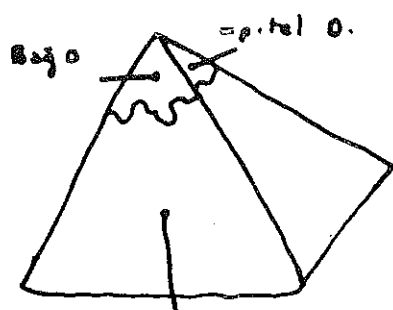
Şekil 5 — Präparat tutucusu :

I — Präparat

II — Bloklama maddesi

III — Präparat tutucusu

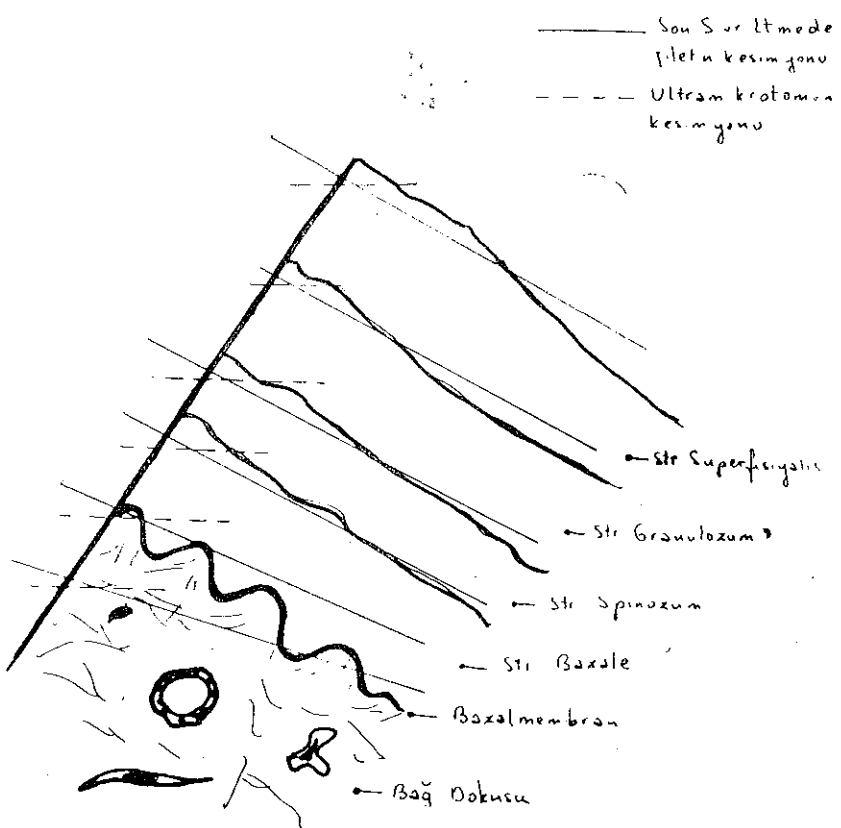
IV — Präparati tutucuya tespit eden vida.



Bloklama Haddesi

U

Şekil 6 — Präparatın Sıvırıltılması



Şekil 7 — Präparatın Son Sıvırıltılması

d) Blansch Lome bioküler mikroskopunda 15-20 büyütmelerle, preparat jiletle sivrlitildi (Şekil 6).

e) Kesitlerin gingivanın istenilen doku ve doku katlarından alınabilmesi için; preparatın dört yan yüzeyinden kaldırılan çok ince tabakalar lam ve lamel arasına konarak mikroskopta incelendi ve bir şema çizildi. Bu şemaya göre dokunun istenilen katı pirizmanın tepe sinde kalacak şekilde Blansch Lome bioküler mikroskopunda jilet ile son sivrlitme yapıldı (Şekil 7).

F — Ultrince kesimler :

Kesimlerde LKB ultramikrotom main Unit Type 4800 A kullanıldı. Präparatlar 600-900 μ kalınlığında elmas bıçaklı kesildi ve bıçak yüzeyinden düşük dereceli alkol içine aktarıldı. Kloroform buharı ile açıldı. Çapı 3 mm. olan ve bir yüzü formvar ile filmlenmiş bakır gritlerin üzerine alındı. Gritler LKB-specimenn grid box una yerleştirilmeden, son alkol damlaları filtre kağıdına emdirildi.

G — Kontrastlaştırma :

Ultrince kesimlerden 24 saat sonra preparatlar ağır metal tuzlarından uranilesetat ile kontrastlaştırıldı.

Uranilesetat çözeltisi; tuz % 70 alkolde 30 dakika süreyle çözelti doyuncaya kadar çalkalanarak hazırlandı ve bir gün bozdolabında bekletildi. Bir petr kutusu içine eritilmiş pembe modölaj mumu döküldü ve mumun düz bir yüzey halinde sertleşmesi beklandı.

Pipete uranilesetat çözeltisinden çekildi ve mum üzerine grit sayısı kadar damla ayrı ayrı bırakıldı.

Gritler, bokstaki numaraları işaretlenerek, filmlenmiş yüzeyleri dışa, preparat çözeltiyle karşılaşacak şekilde damlalar üzerine yerleştirildi. Kontrastlaştırma için 20 dakikalık bir süre seçildi.

Kontrastlaştırma bitiminde preparatlar saf su içine 2-3 defa batırılarak yıkandılar ve boksaya yerleştirildiler.

H — Elektronmikroskopisi :

Kontrastlaşmadan 24 saat sonra, preparatlar 60 KV veya 80 KV luk elektriksel gerilimle çalışan Siemens Elmiskop I A tipi elektronmikroskopunda çeşitli büyütmelerle incelenip fotoğrafları çekildi.

II — ALVEOL KEMİĞİ

1 — Materyal :

Materyal 10 tane alloksan ile diabetik hale getirilmiş ve 5 tane normal, erişkin çağda albino-vistar tipi sincanın alt çene kemiklerinden alındı.

Albino-vistar tipi sincanları İstanbul Üniversitesi Cerrahpaşa Tıp Fakültesi Patolojik Anatomi Enstitüsünden, alloksan solüsyonu ise İstanbul Üniversitesi Diş Hekimliği Fakültesi Ağız Hastalıkları Kürsüsünden sağlandı.

2 — Metod :

A — Eksperimental diabet :

Deney için ayrılan sincanların eter narkozu altında ağırlıkları ölçüldü ve periton altına kg. başına 200 mg. % 5 lik alloksan solüsyonundan enjekte edildi.

Deney süresi olarak 7 gün kabul edildi ve bu süre içinde hayvanlara yiyebildikleri kadar standart fabrika tipi gıda palleti ve içecekleri kadar da çesme suyu verildi.

Yedinci günün bitiminde eter narkozu altında hayvanların alt çene kemiklerinden alveol bölgesi kemik pensi ile çıkarıldı.

B — Fiksasyon :

Diş etinin hazırlanlığında anlatıldığı gibi.

C — Parçalardan su alınması :

Diş etinin hazırlanlığında anlatıldığı gibi.

D — Bloklama :

Diş etinin hazırlanlığında anlatıldığı gibi.

E — Ultrance kesimlere hazırlık :

a) Sıcak su içinde jelatin kapsüller sıyrıldı.

b) Bloklar preparat tutucusuna tespit edildi. (Şekil 5).

c) Piyesamen ucuna takılan çeşitli numaralardaki fissüs frezlerle, bloka makroskopik olarak biopsi tepede kalacak şekilde kare prizma formu verildi.

d) Blansch u. Lome bioküler mikroskopunda 15-20 büyütmelerle, jilet kullanılarak peraparata son sivrlitme yapıldı.

F — Ultrince kesimler :

Diş etinin hazırlanışında anlatıldığı gibi.

G— Elektronmikroskopisi :

Ultrince kesimlerden 24 saat sonra, preparatlar 80 KV lük elektriksel gerilimle çalışan Siemens Elmiskop I A tipi elektron mikroskopunda çeşitli büyütmelerle incelenip, fotoğrafları çekildi.

BULGULAR :

I — D İ Ş E T İ

1 — Epitel :

A — Bazal tabaka :

Hücreler tipik hemidesmozom yapısıyla bazal membran üzerine otururlar. Hemidesmozomların tutucu plakları $100-130\text{ }\text{\AA}$ arasında kalınlık gösterirler (Resim 1, 2, 3, 4).

Tonofilamentlerin demetlenmesiyle yer yer çatallanan kısa tonofibriller meydana gelmiştir. Tonofibriller hemidesmozom ataşman plaqına dik, desmozom tutucu plaqına ise dikey yakın dar açılarla yönelirler. Sitoplasma içinde dağınık seyreden tonofibriler çekirdek çevresinde konsentrik bulunurlar.

Hücre organellerinden mitokondrilerin sayısı fazladır. Mitokondrilerin kristalleri silinmiştir.

Stoplasma içinde granül ve vakuolere rastlanır.

Nukleus yuvarlağa yakın oval ve centiklidir. Karyolemin iki katı belirliidir.

Hücreler, birçok mikrovilluslar yaparlar. İnterseller aralık belidir. Fazla sayıda desmozom vardır (Resim 5, 6, 7).

B — Parabazal tabaka :

Bu tabakada desmozomların sayıca arttığı intersellüler aralığın genişlediği ve tonofibrillerin daha uzun demetler yaptığı görülür (Resim 8).

C — Alt Spongioza tabakası :

Bu tabakada tonofibriller kalın ve yer yer çatallanan demetler yaparlar. Hücre ortasında başlayan demetler, desmozom ataşman plaklarına kadar kesintisiz devam eder. Sitoplasma içinde ve tonofilamentler arasında yaygın ve fazla sayıda ribozomlara rastlanır. Tonofibriller ataşman plaklarında dar açı yaparak son bulur ve intersellüle aralıktı devam etmezler. İnterdesmozomal aralık ortalama olarak 300 Å° dır (Resim 9, 10) İnterdesmozomal aralık lamelleşme gösterir ve desmozom ünitesinin ataşman plâğı sitoplasmik membranın çift çizgisi ve proksimal aralık iyice ayırt edilebilir (Resim 10, 11).

D — Üst Spongioza tabakası :

Hücreler yassılaşır.

Şiş ve kristalleri silinmiş mitokondriler görülür.

Tonofibriller; nukleus periferisinde boş bir alan bırakacak şekilde, kontruna paralel seyrederler.

Nüve çentikli ve yassıdır. Nükleolus belirlidir.

Sitoplasmada fazla sayıda granüller görülür (Resim 12).

Bu tabakada hücreler arası desmozomal bağlantılar devam eder; fakat mikrovilluslar azalır. İnterdesmozomal aralıkta lamelleşme çok belirli değildir (Resim 13).

Transisionel hücrelerde ise yassılaşma artar, sitoplasma içinde tonofibril ve granüller bulunur. Nüveler çok zor farkedilir (Resim 14).

E — Süperfisiyal tabaka :

Süperfisiyal tabakada hücreler yassi ve nüvesizdir.

Sitoplasmalarındaki birkaç vakuolden başka, hücrede stürütürel oluşum yoktur. Hücreler hafif dalgılı bir yüzeyle birbirine temas ederler. Entersellüler aralık belirlidir. (Resim 15).

Transisionel hücre ile süperfisiyal hücre arasında asimetrik bir desmozom bulunur. Transisionel hücrede tonofibrillerin son bulunduğu bir yarımdesmozom vardır (Resim 16).

2 — Epitel - Bağ Dokusu İlişkisi :

Epitel bazal hücreleri ile içinde hücre ve kollagen lifcikler bulunan bağ dokusu arasında hafif dalgılı görünümde üç paralel çizgi izlenir. Üç çizginin; epitel ve bağ dokusu tarafındakiler koyu, ortadaki ise açık renktir.

Epitel hüresinin yanındaki çizgi hücre membranının devamı olup üzerinde yer yer hemidesmozom tutucu plaklarına rastlanır. Tutucu

plaklar 300 A° kalınlığındadır. Tonofibriller bu plaklara dik gelerek sona ererler. Hemidesmozomlar arasında membran, vakuollerı hatırlatırcasına incelir.

Orta çizgi açık renkte ve homojendir. Hemidesmozom plaklarının karşısına gelen kısımlar, diğerlerine göre daha koyu renktedir. Orta çizgi (lamina lusida) $350\text{-}560\text{ A}^{\circ}$ arasında kalınlık gösterir (Resim 2,3).

Bağ dokusuna yakın üçüncü çizginin elektron geçirmezliği fazla ve kalınlığı ortalama 350 A° dır. Bu çizgiye yakın yerlerde kollagen lifçikler retiküler bir yapı gösterip dik olarak elektronyoğun tabakada son bulurlar (Resim 2,3).

3 — Bağ Dokusu :

Bağ dokusu esas madde içinde kollagen fibrilerden yapılı ve çeşitli yönlere dağılan lif ve hücre elemanlarından meydana gelir (Resim 17).

A — Hücreler :

a) Fibroblastlar :

Fibroblastların bağ dokusu içinde çeşitli yönlere doğru uzantıları vardır. Endoplasmistik retikulum granüler tipte ve hücre uzantılarına kadar yaygındır. Sitoplasma içinde mitokondri ve vakuollere rastlanılır. Mitokondriler farklı çapta ve kristalleri silinmiştir (Resim 17, 18, 19). Periferide intrasellüler ve hücre mebranına paralel prototibriller bulunur. Hücre membranının yer yer ortadan kalktığı ve prototibrillerin ara madde içine atıldıkları görülür.

b) Monositler :

Monositler büyük ve böbrek şeklinde nüveleriyle dikkati çekerler. Endoplasmistik retikulum fark edilemez. Çift yapraklı plazmalem fagosoitoza işaret eden çöküntüler gösterir. Sitoplasma içinde çeşitli büyülükte vakuoler bulunur (Resim 21).

c) Plasmositler :

Plasmositin nüvesi yuvarlak ve hücrenin bir kenarına itilmiştir. Kromatin radier dağılmıştır. Sitoplasması granüler endoplasmistik retikulumdan zengindir. Sitoplasma için de koyuboyanan ve farklı büyülükte tanecikler bulunur (Resim 22).

d) Lenfositler :

Lenfositler bütün sitoplasmayı kaplayan nüveleriyle diğer hücrelerden ayırdedilirler (Resim 23).

e) Histositler :

Histositler fazla sayıda vakual taşımaları, zengin endoplazmatik redikulum ve küçük nüveleriyle tanınırlar (Resim 24).

B — Esas madde ve kollagen lifler :

Kollagen lifler ara madde içinde çeşitli yönlere uzanırlar (Resim 25).

Liflerin arasında esas madde homogen, yer yer retiküler ve granüler görünümde bulunur.

Lifler, fibrillerin bir araya gelmesiyle oluşurlar. Boyuna kesilen fibriller, kollagenlere özgü 640 A° lük periodik enine çizgilenmeyi (long spacing filament) ve bu çizgiler arasında da tekrar enine çizgilenme (long spacing segment) gösterirler (Resim 26).

Preparatlarda enine kesilmiş fibriller açık ve koyu renkli, çapı $500 - 600\text{ A}^{\circ}$ değişen noktalar halinde görülürler.

Bazı alanlarda (Resim 27) fibriller arası yapıştırıcı madde homojenmasına rağmen diğer alanlarda (Resim 28) (Resim 29, 30, 31) fibriller arası madde granüler ve retiküler bir görünüm alır. Bu bölgelerde fibrillerin çapları da belirli bir şekilde birbirinden farklıdır. Ayrica yereysel olarak fibrillerin yoğunluğu da değişim gösterir. Kollagenlerde disorganizasyon vardır. Yapıştırıcı esas madenin dejenera görünüm aldığı yerlerde kollagen fibriller, düzenli demetler yaparak lif meydana getirebilir (Resim 28, 32).

C — Kapiler ve perikapiler alan :

Kapillerlerin boyuna kesitlerinde (Resim 33) plasmanın homojen boyandığı ve içinde eritrositlerin bulunduğu lumen görülür. Lumeni büyük yassı çekirdekli sitoplasmik uzantılı endotel hücreleri çevreler. Entotel hücreleri ile kollagen fibrillerin düzenli lifler yaptıkları bölge arasında geniş bir alan normal yapı göstermez. Burada esas madde retiküler bir görünüm almıştır.

Kapillerlerin enine kesitlerinde bu bulgu daha belirlidir (Resim 34). Kapiler lumeni çevresinde endotel hücreleri halka yaparlar. Basal membran, bir yaprağıyla perisit hücresini de içine alarak, endotelin çevresinde $700-900\text{ A}^{\circ}$ kalınlığında bulunur. Perikapiler alanda; enine kesilmiş, koyu renkli tek tek lifler arasında ara madde homogen olmayıp retiküler görünümdedir.

Bir diğer kapiller enine kesitinde ise, tekrar aynı bulguyla karşılaşılır (Resim 35). Endotel hücresinin şiş görünümü ile lumen da-

raılmıştır. Kapiler çevresinde bir perisit görülür. 600-700 Å° kalınlığında basal mebran bir yaprağı ile perisiti de içine alarak endotel ve perisiti bağ dokusundan ayırrır. Perikapiller alanda ise, kollagen fibriller düzenli lifler meydana getiremezler. Lifcikler retiküler ve granüler görünüm almış olan yapıştırıcı madde arasında tek tek bulunurlar.

II — A L V E O L K E M İ Ğ I

Alveol kemiğinde Havers kanalı ve onun çevresinde kalsifiye doku görülür. Kalsifiye doku içinde çapları, kanala oranla çok küçük başka boşluklar bulunur. Kemik dokusu içinde uzunlamasına kesilmiş kollagen lifcikler ve bunların 640 Å°lık periodik enine çizgilenmesi yer yer belirlidir. Apatit kristalleri farklı uzunlukta ince siyah çubuklar şeklinde görülürler. Çubuklar, kollagenlerin uzunlamasına kesildikleri yerlerde belirli olarak kollagen fibrilin yönüne paralel çökelmişlerdir (Resim 36, 37, 38).

Kemik dokusu içinde yer yer açık renk ve homogen görünümde esas madde geniş alanlar kaplar. Bu alanlar içinde kollagen lifcikler bulunmayıp tek veya gruplar halinde apatit kristalleri görülür (Resim 39). Bu alanların çevresinde ise; tekrar kollagen lifcikler ve esas maddeden yapılı ara madde içine düzenli bir kristal çökelmesine rastlanır (Resim 40).

TARTIŞMA :

Eski çağlardan yana tanınan diabetes mellitus, etiolojisi ve komplikasyonlarının patogenezi yönünden tam aydınlatılmamış bir fenomen karakterindedir. Hastalık protein, yağ ve karbonhidrat metabolizması bozukluğu temeline dayanır; bu nedenle organizmada çeşitli organ ve sistemlerde değişiklik yapar. Sistematik bir hastalık olduğu için tıbbın bütün dalları gibi dişhekimliğini de yakından ilgilendirir.

Günümüze kadar şekerli diabetin oral bulgu ve komplikasyonları istatistik ve klinik yönünden incelenmiş, patolojik olayların aydınlatılması için gerekli olan labratuar çalışmalarına pek az yer verilmiştir. Diabetin, komplikasyonlarından biri olan parodontopatiler (20, 47), genellikle diğer komplikasyonların etiopatogeneiz ile açıklanmaya çalışılmıştır. (18, 30). Oysa hastalık ile olayın geçtiği organ ve doku arasında karşılıklı ilişki vardır.

Diabetolojik çalışmaların ilerlemesi, konuda bilme yeni problemler (örn. : proinsülin salgılanması; sinalbümin birleşikleri; kapiller basal membranı) getirmiş ve bunların çözümü için de yeni metod (örn. immuno-essay; bio-essay) ve araçlardan (örn. elektronmikroskopu) yararlanması gerekliliğini ortaya koymuştur.

Zamanımıza kadar yapılan pek az sayıda diabetik gingiva ve alveol kemiğinin strüktürel incelemeleri diabetik parodontopatının patogenezini açıklamak için bilime yeterli bir kriter getirememiştir.

Bu nedenle çalışmalarımızda diabetik dişeti ve alveol kemiğinin submikroskopik yapısı, normali ile karşılaştırılarak incelendi ve bulgular ile şekerli diabet arasında ilişki kurma amacı güdüldü.

I — D İ Ş E T İ

1 — Epitel Dokusu :

Çalışmanın materyal ve metod bölümünde geniş olarak anlatıldığı gibi, preparat ultranice kesimlere hazırlanırken, çok katlı yassı epitelin bütün katlarından ve bu katların birbirine geçiş bölgelerinden kesit alınabilmesine dikkat edilmiştir. Böylece yüzeyel tabakadan bazal membrana kadar bütün katların hücrelerini ve hücreler arası ilişkisi incelemek olanağı bulunmuştur.

Bulgular normal gingival epitel ultrasüktürü araştırmalarının bulguları (19, 48) ultrastrüktür atlaslarının verileri (43) klasik bilgiler ve diabetik gingiva ultrastrüktürü üzerine yayınlanan bir çalışma (3) ile karşılaştırılarak değerlendirilmiştir.

Normal gingiva epitelinin çeşitli katlarının bütün özellikleri, diabetik gingivaepitelinde de bulunmaktadır. Bazal hücrelerin hemidesmoozm yapısı, vakuollü olmaları, hemidesmozom ataşman plakları arasındaki veziküller (Resim 1, 2, 3, 6) yüzeye doğru mikrovillus ve desmozomların sayıca artması (Resim 8) alt spongioza tabakasında maksimuma erişmesi ve burada desmozom ataşman plaklarına tonofibriler demetlerin dar açılarla gelmeleri (Resim 9, 10), daha üst tabakalarda tonofibrillerin artması, sitoplasmanın granüllerle kaplanması, nukleusun yassılaşması (Resim 12), transisionel hücrelerin varlığı (Resim 13), keratinleşmiş süperfisiyal yassı hücre ile transisionel hücre arasındaki asimetrik desmozom yapısı (Resim 15), yüzeyel tabakadaki stürütürsüz keratinleşmiş süperfisiyal hücreler (Resim 14) normal bulgularla uyuşur. Yalnız Schroeder ve Theilade (48) in 300 A°, Haim (19) in 80-100 mµ çapında olduğunu söylediğleri, keratinize hücreler içindeki elektron geçirgen mikrobodiler, farklı ölçülerde 50-400 mµ arasında bulunmuştur. Balmforth ve ark. nın (3) ileri sürdükleri intersellüler genişleme ve burayı lamelleşme gösteren partikülerin veya elektron yoğun bir materyalin doldurma hali; bulgularımız arasında yoktur. İntersellüler alanın genişliği statik olmayıp fonksiyonel nedenlerle, devamlı oluşan veya kaybolan sitoplasmik

çıkıntılarına bağlıdır (32). Ayrıca yaptığımız ölçmelerde intersellüler aralık ortalama $300\text{ }\text{\AA}$ eninde, normal bulunmuştur (Resim 10).

A — Tonofibriller :

Tonofibrillerin epitel dokusunda iki görevi vardır : Ataşman plaklarında sona erip, desmozom ünitesini tamamlamak ve hücreler arası adezif tutunmaya fonksiyonel olarak katılmak; keratinizasyon olayında ilkel madde olmak (38). Bulgularda; tonofilamentler, özellikle alt spongioza tabakasında uzun, kalın ve yer yer çatallanan, desmozom ataşman plaklarında sona eren demetler yaparlar (Resim 9, 10). Ayrıca preparatlarda süperfisiyel tabakanın görülmesi, tonofibrillerin diğer fonksiyonunun da varlığına işaret eder (Resim 15).

B — Desmozomlar :

Desmozom ünitesinde, yedi elektron yoğun çizgi görülür. Bu çizgilerden dıştaki ataşman plaqına aittir. Ortada orta lamel veya intersellüler tabaka adı verilen çizgi bulunur (27). Üst tabakalara doğru, desmozom yapısı zor seçilmeye başlar, önce orta lamel silinir (23, 33). Keratinize hücre ile transisionel hücre arasındaki desmozom simetrik yapısını kaybetmişlerdir. (19, 39). Desmozm ataşman plaklarına tutunan tonofibriller de yüzeye doğru azalırlar (52).

Bulgularımızda desmozom yapısında yedi çizgi görülmektedir (Resim 10). İlütücü plak hücre membranının çift yaprağı ve orta lamel belirlidir. Tonofibriller kalın ve dar açı yaparak ataşman plaklarında sona ermektedirler. Daha üst tabakalarda tonofibrilerin kalınlığı ve interdesmozal lamellerin sayısı azalmıştır (Resim 13). Keratinize tabakada ise desmozom yapısı kaybolmuştur. Hücreler hafif dalgınlık yüzelyerle birbirlerine değerler. İntersellüler aralığı yer yer amorf bir madde doldurmaktadır (Resim 15).

2 — Epitel - Bağdokusu İlişkisi :

Bulgularımızda epitel ile sağ dokusu arasında üç çizgi görülür. Çizgilerden dışdakiler elektron yoğun (elektrodens) ortadaki ise elektron geçirgen (elektrolusentdir).

Epitel yanındaki çizgi bazal hücrenin plasmaleminin devamıdır. Elektron geçirgen orta çizgi $350-560\text{ }\text{\AA}$ kalınlığında olup, homojen bir madde ile doludur. Haim ve Schroeder, Theilade (19, 48) normal insan materyalinde yaptıkları inceleme bitiminde açıkladıkları ölçmelerle, bizim ölçmelerimiz aynı değilse de yakındır. Bulgularımızda içinde diabete bağlıabileceğimiz bir değişikliğe işaret yoktur. Epitel ba-

zal membranı, diabetologlar tarafından söylenen endotel bazal membranındaki değişikliklere eşlik etmemektedir. Ölçmelerin yapıldığı materal retinopati ve nöropatisi olan bir diabetik kişiden alınmıştır. Angiopatilerin etiopatogenezi açıklanırken protein metabolizması bozukluğu sonucunda basal membrana fazla glikoprotein çökelmesi ileri sürürlür (11). Araştırmamız sonucunda bazı kapillerlerinde angiopati olan organizmada glikoproteinden yapılı olduğu kabul edilen, epitel bazal membranına fazla miktarda glikoprotein çökelmediği ve bu katın kalınlaşmadığını ileri sürebiliriz.

3 — Bağ Dokusu :

Bağ dokusu içinde iltihap hücrelerine; Lenfosit (Resim 23), plasmosit (Resim 22), histosit (Resim 24) ve monosit (Resim 21) lere rastlanmaktadır. Klasik, ışık mikroskopu bilgilerine göre bu hücrelerin dokuda seyrek bulunması normal, fizyolojik bir olaydır. Elektron mikroskopunun fazla büyütmesi nedeniyle; dokuda hücrelerin yaygın derecesi konusunda fikir edinlememekte ve supmikroskopik bulgularla olayın normal fizyolojik sınırı aşip aşmadığını karar vereilmektedir. Bağ dokusunun esas hücresi fibroblastlar ultrastrüktürel bakımdan klasik bilgilere uymaktadır (Resim 19, 20). Hücrelerin sitoplasmik uzantıları içinde de devam eden yaygın, granüler endoplasmik retikulum, hücrenin protein sentezinde aktif olduğuna işaret eder. Ayrıca bir protein zinciri olan tropo ve protokollagen lifcikleri de hücre membranına paralel sitoplasma içinde görülmektedir. Yer yer hücre membranı ortadan kalkmakta ve protofibriller ara madde içine birekilmektedir. Resimlerde krinostoz olayı (hücrenin protofibrili elementar membran ile sararak hücre dışına bırakması) belirli değildir.

Fibroblastların bir diğer fonksiyonu da bağ dokusu esas madde sinin komponentlerinden mukopolisakkaritleri salgılamaktadır. Olay, hücrenin glikolitik metabolizması ile ilgilidir (32, 25). Esas madde hücrenin golgi apareyinde meydana gelir (32).

Esas madde içinde mukopolisakkaritlerin polimerizasyon derecesi dokunun metabolik olaylarının hızını etkilediği gibi; ayrıca fibril ve liflerin meydana gelişinde de rol oynar. Bağ dokusu fibrillerinin yapımı ve gelişimi için belirli miktar ve polimerizasyon derecesinde mukopolisakkaritler gereklidir. Esas maddeden bazen interfibriller yapıştırıcı madde adıyla konuşulması bu fonksiyonları nedeniyledir. Mukopolisakkaritlerin anion gruplarının fibrillerin katyon gruplarına yönelikleri zannedilmektedir.

Araştırmamızda elektron mikroskobunda homojen veya çok ince granüler olarak görülmeli gerekken bağ dokusu esas maddesinde retiküler ve granüler bir dejenerasyon bulundu. Esas maddede retiküler ve granüler görünümün bulunduğu yerlerde kollagen lifçiklerin çaplarında farklılaşma ve lif düzenlemelerinde bozukluklar görülmektedir (37). (Resim 28, 29, 30, 31, 32). Bulgularımız normal gingiva ara madde ve liflerinin görünümüyle karşılaştırıldığında bulgular arasındaki fark belirliidir (Resim 43, 44). Balmforth ve ark. (3) çalışmalar sonucunda kollagen disorganizasyonunu açıklamışlardır. Yalnız bu disorganizasyon ile esas madde arasında esas maddenin supmikroskopik değişimine debynerek bir ilişki kuramamışlardır.

Ara madde dejenerasyonu ve kollagen disorganizasyonu perikapiller alanda daha da belirli hale gelir (Resim 33, 34, 35). İlk mikroskopu ile yapılan araştırmalarda da (2) diabetik gingiva kapiller çevresinde P.A.S. ile koyu boyanan bir alan olduğu söylenilir. P.A.S. ile koyu boyanma o bölgede mukopolisakkaritlerin artlığına işaret eder. Supmikroskopik bulgularımız ile histokimyasal bulgular birbirini destekler. Bizim çalışmamızda da bu alanda dejeneratif bir ara maddenin artıp kollagen yapısını bozduğu görülür.

Diabette esas maddedeki bozukluğu maddenin yapılış olayına bağlıyabiliriz. Şekerli diabet insülinin absolut veya relatif yetersizliğine bağlı bir hastalıktır. Her iki tipte de periferide hücre içine girecek olan insülin miktarı azalmıştır (13). İnsülin eksikliği glikozun hücre içine girişini azaltarak, glikoz utilizasyonu bozmaktadır. Ara madde salgılanması ise fibroblastın glikolitik metabolizması ile sıkı ilişkide bulunduğuundan diabetik gingival bağ dokusu esas maddesinde dejenerasyon görmek şartlı bir olay değildir. Fibril ve lif disorganizasyonu ise yapırtıcı maddenin bozukluğuna bağlı olarak sekonderdir.

Diabetik parodontopatilerin nedenini Ulrich (54) yaptığı bir statistiksel çalışmaya dayanarak hücre karbonhidrat metabolizması bozukluğu ile açıklamıştır. Ulrich (54) diabetik parodontopatilere genç hastalarda diabetik katarakt ile beraber daha sık rastlandığını göstermiştir. Gerçekten diabetik kataragin da insülin yetmezliği ile yakın ilgisi vardır (57). Biz de esas madde dejenerasyonunun nedenini insülin yetmezliği hipotezine bağlamıştık.

Diabetin özel komplikasyonlarından biri olan angiopatiye gingiva kapillerinde rastlanılmadı. Angiopatiler özellikle böbrek ve retina kapillerleri ile ekstremitelerde olmaktadır. Retinopatide kapiller bazal

membranı 1000-4000 A°, nefropati de ise 5000 - 8000 A° kadar kalınlaşmıştır. Normalde 400 - 600 A° kalınlığında olması gereken (32) kapiller bazal membranı kalınlığı bizim diabeti kötü ayarlı 18 yıllık ve retinopati ve alt ekstremitelerde nöropatisi olan vakamızda yaptığımiz ölçmeler sonucunda ortalama 350-500 A° arasında normal bulunmuştur. (Resim 34, 35). Bulgumuzu Ulrich'in (54) ve Keating'in (28) statistiksel araştırmaları ve Balmforth ve ark.nın (3) ultrastrüktürel çalışması desteklemektedir. Böylece «diabette organizmada yaygın anigopati olduğuna göre bu olaya gingivada da rastlanılması gerekmektedir ve bu dolaşım yetersizliği parodontopati nedenidir.» hipotezinin (30) ne kadar yanlış olduğu ortaya çıkar.

Schuster'in (49) ortaya koyduğu diabetik gingivada dolaşım indeksi düşmesini mikromorfolojik bulgularımız açıklamamaktadır. Fakat aynı araştırıcının «kapillerden dokuya, dokudan kapillere madde transportunun yavaşlığı» düşüncesini bir başka açıdan sakincalı bulmamaktayız. Perikapiller alandaki bağ dokusu esas maddesinin dejenerasyonu madde transportuna da negatif etki yapabilir. Bu hipotezlerin gerçekleşebilmesi için radio izotop deneylerine başvurmak gerekmektedir.

Götze (18) nin genç diabetiklerde lokal kapiller genişlemesi ile ilgili bulgusunu perikapiler dejenerasyon ile açıklamak konusunda çekimsiz kalınmalıdır.

II — ALVEOL KEMİĞİ

Alveol kemığından biopsi almanın diabetik kişinin parodonsiyumunda tamir zor geniş zararlara yol açacağı ayrıca bu işlemin hastada ruhsal bir stres hali yaratacağı düşünülerek çalışmamızın alveol kemiği ile ilgili bölüm eksperimental hazırlandı. Albino-vistar tipi sıçanlar alloksan enjekte ederek hayvanların pankreas beta-hücreleri nekroze edildi. Böylece hayvanlar pankreaslarının insülin salgılıyamaması nedeniyle diabetik hale getirildi.

İncelenen alveol kemığının sıçana ait olması ayrıca hayvanda açık debitli insülin yetmezliğine bağlı bir tip diabetin (pankreas diabeti) (10) meydana getirilmiş olması; araştırmamızın bulguları ile diabetoloji arasında ilgi kurarken unutulmamalı, diabetle beraber görülen her alveolizi aynı bulgularla açıklamak gibi bir önyargıdan kaçınılmalıdır.

Bulgular arasında bir preparat, kemik yapısının yer yer bozulması ile ilgisi çekmektedir. Normal, kalsifiye kemik matriksi arasında ara

madde homojen olarak ortalama 1,7 μ çapında alanlar kaplamaktadır. Homojen amorf madde içinde düzensiz bir şekilde apatit kristalleri görülür. Kollagenlere rastlanılmamaktadır (Resim 39, 40). Normal alveol kemiğinde ise (Resim 41, 42), organik matriksin kollagen lifleri üzerine çökelmiş apatit kristalleri ile kemik dokusu düzenli bir yapı göstermektedir.

Preparatta görülen alveol kemiğindeki bu yapı bozukluğu; Ulrich'in (54) benimsediği fikirle diabette karşılaşılan kemik ve alvoeler rezorpsiyon metabolik asidoz nedeniyle kemiklerden Ca-fosfatın mobilize olmasıyla, açıklanabilir.

Schlegel ve ark. (46) da alloksanla yaptıkları eksperimental çalışmada diabetik sıçanların alveol kemiklerinde kalsiyum değerlerinde azalma bulmuşlar ve bunu kemiklerden metabolik asidoza tampon olması için Ca-iyonunu mobilizasyonuna bağlamışlardır.

Klinik dibe tolojide difuz veya lokal osteoporoz ve osteoliz (genellikle el-ayak parmak kemiklerinde) diabetin kemik komplikasyonları olarak tanımlanmaktadır (49).

Fiksasyon için diğer araştırmacılar gibi (3, 19, 48) glutaraldehit- osmiumtetraoksit kullanıldı. Glutaraldehit proteinlerden moleküllerin arasında metilen köprüleri kurarak bir ağ meydana getirir. Protein sol halinde jel haline gelir. Osmik asit ise doymamış lipitlerden bir ağ meydana getirir (32). Çalışmamızda glutaraldehit fiksasyonu 6-24 saat süreyle yapılmıştır. Hücre organellerinin detaylı incelenmesi için dokunun glutaraldehit içinde 6 saatten fazla kalmaması gereklidir (31, 37). Bu nedenle epitel ve krista silinmesi olayının patolojik bir bulgu olarak yorumlanmasıından kaçınılmalıdır.

Dokuların % 75 alkol içined 48 saat bırakılması preparasyon tekniği yönünden sakıncalı değildir (21).

Kemikte apatit kristallerinin değişik uzunlukta görülmesi nedeni uzun eksenleri ile kesit yüzeyinin yereysel farklı açılar yapmasıdır.

Araştırmancı, elektron mikroskobunda yapılması inceleme alanını genişletmiş ve bu nedenle materyal sayısını kısıtlamamıştır. Bulgular genelleştirilemez fakat buna karşılık dokunun en küçük elemanlarını ilgilendirmesi ve yapının esasındaki bozukluğu göstermesi yönünden bulguların kalitatif değeri vardır.

S O N U Ç

G İ N G İ V A :

1. Epitel dokusunda şekerli diabet ile ilgili ultrastrüktürel bir

değişime rastlanılmamıştır. Epitelin katları, hücre yapısı, hücreler arası ilişkisi normal bulgulardan ayırt edilememiştir.

2. Epitel dokusu ile bağdokusu arasında bulunan basal membranın yapısı ve ölçüler normal bulgular ile uyuşmaktadır. Angiopati komplikasyonu olan diabetik organizmada epitel bazal membranı kalınlaşmamıştır.
3. Diabetik gingival bağ dokusunda şekerli diabet ile ilgil ultrasürtürel değişimler bulunmaktadır. Bağ doku esas maddesi ve ondan gelişen interfibriller yapıştırcı maddede retiküler ve granüler bir dejenerasyon kollagen fibrilerin demet yaparak kollagen lif meydana getirme olayını etkilemiş; fibriler ve lifsel bir birleşme bozukluğu (disorganizasyon) ortaya çıkmıştır.
4. Kollagen fibrillerin çaplarında da farklar vardır.

4. Diabetik kişilerin gingiva kapillerinin çevresinde bağ dokusu esas maddesinin retiküler ve granüler dejenerasyonu artmıştır. Angiopati komplikasyonu olan organizmada gingiva kapiller bazal membranı kalınlaşmamış ve normal ölçülerde bulunmaktadır.

ALVEOL KEMİĞİ :

1. Alloksanla diabetik hale getirilen albino-vistar tipi sincanların alveol kemiklerinde yer yer dekalsifiye alanlara rastlanılmıştır.

Ö Z E T

Diabetik kişilerde klinik ve radyolojik olarak görülen parodontopatiler, olayın geçtiği dokulardan dışetinin ve alveol kemığının ultrastrütürü açısından incelendi. Çalışmalarda iki cins materyel, diabetik insan dışeti ve alloksanla diabetik hale getirilmiş albino-vistar cinsi sincanların alveol kemikleri kullanıldı. Biopsiler glutaraldehit-osmiumtetraoksit ile fiks edildi, Siemens El-Miskop I A tipinde incelendi.

Dışeti bulguları bu konuda yapılan tek araştırma ve normal gingiva mikromorfolojisiyle ilgili yayınlar ile karşılaştırıldığında, bağ dokusunda önemli değişiklikler bulundu. Perikapiller alanda daha da arttığı izlenimini veren bağ dokusu esas maddesinin retiküler ve granüler dejenerasyonu bulgularımızın içinde şimdiden kadar diğer araştırmacılar tarafından hiç degenilmemiş olması nedeniyle önemlidir. Mukopolisakkarit ve glikoprotein kompleksinden meydana gelen esas madde dejenerasyona uğradığından, interfibriller yapıştırcı madde görevini görememekte ve gingival kollagen lif oluşumunda bir disorganizasyon ile karşılaşmaktadır. Olayı diabetes melitus fenomeniyle açıklamak olağandır. Esas maddenin mukopolisakkarit komponentini fibrorlastlar glikolitik aktiviteleri ile meydana getirmektedir.

ler. Diabetes melitus absolut veya hıfzı bir insülin yetmezliği esasına dayanan bir metabolitik hastalıktır. İnsülin ise glikolitik metabolizmada önemli rol oynayan bir hormondur ve yetmezliğinde fibroblastların glikolitik metabolizmasının bozulduğu, bunun mukopolisakkarit yapımını da etkilediği düşünülebilir. Bağ dokusu ve epitel hücrelerinde özel bir bulguyla karşılaşılmadı. Epitel basal membranı ve diabette genelikle kalınlaştiği gösterilen kapiller basal membranı, retinopatisi olan diabetiklerden alınan inceleme materyelinde de normal ölçüler arasında bulundu.

Alveol kemiğinde ise yer yer dekalsifiye alanlara rastlandı. Bu diabetik osteoliz ve osteoporozlerin bir tipi olarak nitelendirildi. Bu olayın nedeni incelenen materyelin alloksan diabeti olan sığanlardan alınması da düşünülebilir, metabolik asidoza tampon olması için kemiklerden Ca ionunun mobilizasyonu ile açıklandı.

Z U S A M M E N F A S S U N G

Die menschliche, diabetische Gingiva und die Alveolarknochen der Albino-Vistar Ratten, bei denen durch Alloxan-Einspritzung Diabetes Mellitus verursacht wurde, sind nach der SO₄-Fixierung und Uranylasetat-Nachkontrastierung elektro-nennoptisch untersucht worden. Die Untersuchungsergebnisse wurden erst mit den in der Literatur erschienenen Befunden der normalen und diabetischen Gingiva von den verschiedenen Autoren verglichen und dann von dem diabetologischen Standpunkt bewertet.

1. GİNGİVA :

1. Epitel :

Mehrschichtiges Plattenepitel des diabetischen Gingiva erwies keine Veränderungen im Vergleich zu dem normalen. Sie besteht aus fünf Schichten (Basale Schicht, Parabasale Schicht, Untere Spongiosa Schicht, Obere Spongiosa Schicht und Superfisiale Schicht) mit typischen Merkmalen. Der Bau der Hemidesmosomen, Desmosomen, der Verlauf und die Dichte der Tonofibrillen Übereinstimmen mit den in der Literatur erwähnten Angaben.

2. Epitel - Bindegewebe Grenze :

Epitelbasalmembran (Grenzmembran) hat eine Dicke von 300 Å die im normalen Bereich steht, und die Basalzellen sind mit einer Hemidesmosomen-Bildung an die Basalmembran verzahnt. Zwischen dem normalen Bindegewebe und der Grenzmembran liegt eine von Kollagenfibrillen entstandene, retikulierte Schicht, wo die Protokollagen-fibrillen senkrecht der Basalmembran gerichtet sind.

3. Bindegewebe :

Eine retiküläre und granüläre Degeneration in der Grundsubstanz des Bindegewebes wurde festgestellt.

Diese Degeneration in der Kittsubstanz des Bindegewebes führt die Kollagenfibrillen zu einer Disorganisation. Die Grundsubstanzveränderung scheint in der Umgebung der Kapillaren ausgeprägt zu sein. Diabetes Mellitus kann solch eine Veränderung der Grundsubstanz verursachen; weil die aus Mukopolysacchariden und Glykoproteinen-Komplexen bestandenen Grundsubstanz von den Fibroblasten durch ihre glykolytische Aktivität produziert worden sind. Diabetes Mellitus ist zwar eine Krankheit, die durch absoluten oder relativen Insulinmangel gekennzeichnet ist.

chnet. worden ist. Insulin spielt bei dem glykolytischen Stoffwechsel der Zelle eine wichtige Rolle.

Eine bekannte Komplikation vom Diabetes Mellitus, Kapillarbasalmembranverdickung, ist bei einem Fall mit der Retinopathie nicht vorgekommen. Angiopathie bei der diabetischen Gingiva kommt nicht in Frage.

II. ALVEOLARKNOCHEN :

An einigen Stellen wurde eine Art der Auflösung von dem anorganischen Bestandteil des Knochens festgestellt, die auch radiologisch bei den menschlichen Alveolar, Zehen- und Fingerknochen vorgelegt worden sind. Weil diese Ergebnisse bei dem Alloxan-diabetes beobachtet worden sind, haben wir die Auflösung des anorganischen Bestandteilen, wie die anderen Autoren, mit der Ca-ionen Mobilisation für die Kompensation der metabolischen Azidosis erklärt.

L I T E R A T Ü R

- 1 — **Alp, H.** : İstanbul Üniversitesi, Diş Hekimliği Fakültesi, 8. semestre «İç Hastalıkları» ders notları, 1968.
- 2 — **Adersen, I. J., Holst, G.** : Endocrin disorders «Thoma's Oral Pathology. II. cilt. 6. baskı, Ed. : R. J. Gorlin ve H. M. Goldman» içinde. Mosby Comp., St. Louis, 1970.
- 3 — **Balmforth, J. B.; Cohen, M. M.; Feagans, W. M.; Waitzkin, E.** : Electron microscopic Observation in Diabetic Gingiva, I. A. D. R. Abstracts, 422, 1969.
- 4 — **Bergstrand, A.** : The glomerular lesions of diabetes mellitus and their electron microscopic appearance. J. Path. Bact. 7 : 231 - 242, 1959.
- 5 — **Bergstrand, A.** : Functional and structural variations in the glomerul capillary wall. Acta path. scand. suppl. 154 : 60, 1962.
- 6 — **Bloodworth, J. M. B.** : Diabetic microangiopathy. Diabetes 12 : 99-114, 1963.
- 7 — **Bucher, O.** : Cytologie, Histologie und mikroskopische Anatomie des Menschen, 7 baskı. Huber, Bern. Stuttgart, Wien. 1970.
- 8 — **Campbell, R. D.; Campbell, J. H.** : Results and Problems in Cell Differentiation. Springer, Berlin - Heidelberg, 1971.
- 9 — **Dettmer, N.** : Entwicklung und raumliche Anordnung der Interzellular Substanz des Bindegewebes und ihre Beziehung zur Leistung der Bindegewebszellen, Özel baskı.
- 10 — **Devrim, S. A.** : Diabetin Etiopatogenezi. Türk diabetikler Cemiyeti Mec. 1 : 3-15, 1970.
- 11 — **Devrim, S. A.** : Şekerli diabette protein metabolizması bozuklukları ve mikroangiopatilerin patogenezi hakkında. Tıp Fak. Mec. 31 : 701-720, 1968.
- 12 — **Devrim, A. S.** : Diabetes mellitusta kullanılan oral antidiabetik ilaçlar. İstanbul Üniversitesi Çapa Tıp Fak. «Diabet Semineri» notları, Aralık 1969.

- 13 — **Devrim, S. A.** : Kişisel görüşme.
- 14 — **Eastoe, J. E.** : Collagen and Tissue Architecture. Dent. Pract Dent Rec 18 : 267-273, 1968.
- 15 — **Glickman, I.** : Periodontal structures in experimental diabetes. New York J. Den. 16 : 226, 1946 (Mackenzie, R. S.; Millard, H. D. dan).
- 16 — **Glickman, I.** : Relation of experimental diabetes to periodontal diseases. Am. J. Orthodont. and Oral Surg (Oral Surg. Sect.) 33 : 703, 1947. (Mackenzie, R. S.; Millard, H. D. dan).
- 17 — **Gora, I.** : Blood and Lymphatic vessels. «Pathology. 1 cilt. 3. baskı» içinde Mosby Comp., St. Louis, 1966.
- 18 — **Götze, W.** : Kapillarmikroskopische Untersuchungen im Mundschleimhautbereich an Diabetes mellitus erkrankten Menschen. Dtsch Zahnaertz Z 1 : 8-16, 1964.
- 19 — **Halm, G.** : Elektronenmikroskopische Untersuchungen des normalen Epitels der menschlichen Mundschleimhaut. Carl Hanser Verlag, München, 1964.
- 20 — **Hatemi, H.** : Diabetin Kliniği ve Komplikasyonları, «1970 Diabet Günleri» Kurs bölümü Notları. Pfizer, 1970.
- 21 — **Herbst.** : Kişisel görüşme.
- 22 — **Horsfield, G. L.; Lamigan, R.** : Exudative lesions in diabetes mellitus. J. clin. Path. 18 : 47-53, 1965.
- 23 — **Horstmann, E.; Knoepf, A.** : Elektronenmikroskopische Studien an der Epidermis. I. Rattenpfote. Z. Zellforschung. 47 : 348-362, 1958 (Campbell, R. D.; Campbell, J. H. dan).
- 24 — **Irvine** : The ultrastructure of the renal glomerulus in intercapillary glomerulosclerosis. Amer. J. Path. 32 : 647-648, 1956.
- 25 — **Kaiser, E.; Stockinger, L.** : Morphologie und Biochemie des Bindegewebes. Munch. Med. Worhenschr. 10 : 321-332, 1971.
- 26 — **Karlson, P.** : Biochemie. 4. baskı : Georg Thieme Verlag, Stuttgart, 1964.
- 27 — **Karrer, H. E.** : Cell interconnection in normal human cervical epithelium. J. biophys. biochem. Cytol. 7 : 181-183, 1960 (Campbell, R. D.; Campbell, J. H. dan).
- 28 — **Keading, A. ve Ark.** : Parodontopathien bei Diabetikern. Aerzt. Prax. 90 : 4138, 1971.
- 29 — **Kent, H. A.** : Dental Service for Diabetics, New-York State. J. Med. 33 : 1083, 1933. Thoma. H. K. : Oral Pathology. 4. baskı. Mosby Comp., St. Louis, 1954.
- 30 — **Kötzsche, H. J.** : Leitfaden der Parodontologie. 2. baskı. Johann Ambrosius Barth, Leipzig, 1970.
- 31 — **Lenz, H.** : Kişisel görüşme.

- 32 — **Leonard, H.** : Histologie und Zytologie des Menschen. 3. baskı. Georg Thieme Verlag, 1971.
- 33 — **Listgarten, M. A.** : The ultrastructure of human gingival epithelium. Amer. J. Anat. 114 : 49-69, 1964 (Campbell, R. D.; Campbell, J. H. dan).
- 34 — **Lovestedt, S. A.; Austin , L. J.** : Periodontoclasia in diabetes mellitus. J Am Dent Assoc 30 : 273, 1943. (Mackenzie, R. S.; Millar, H. D. den).
- 35 — **Mackenzie, R. S.; Millard, H. D.** : Interrelated Effects of Diabetes, Arteriosclerosis and Calculus on Alveolar Bone Loss. J. Am. Dent. Assoc. 66 : 191-198 1963.
- 36 — **Maskar, Ü.; Klara, M.** : Histoloji. 1 baskı. Sermet matbaası, İstanbul, 1961.
- 37 — **Merker, J. H.** : Kişisel görüşme.
- 38 — **Mishima, Y.; Pinkus, H.** : Electron Microscopy of Keratin Layer stripped Human Epidermis. J. Invest. Dermatol. 50 : 89-102, 1968.
- 39 — **Odland, G. F.; Reed, T. H.** : Epidermis. In : Ultrastructure of normal and abnormal skin. (Ed. : A. S. Zelickson) Lea and Febiger, Philadelphia, 1967. (Campbell, R. D.; Campell, J. H. dan)
- 40 — **Öker, C.** : Diabetin Epidemiyolojisini. «1970 Diabet Günleri» konferant tek-siri.
- 41 — **Öker, C.** : Diabetes Mellitus'ta Kavramlar ve Devreler. «1970 Diabet Günleri» Kurs bölümü Notları. Pfizer, 1970.
- 42 — **Öker, C.** : İnsülin Konusunda Yeni Gerçekler. Ansa Tıp Bülteni 1 : 15-21, Sermet Matbası, İstanbul, 1967.
- 43 — **Porter, K.; Bonneville, M.** : Fine Structure of Cells and Tissues. 3. baskı Lea and Febiger, Philadelphia, 1966.
- 44 — **Ray, H. G.** : Study of Histopathology of gingiva in patients with diabetes mellitus. J. Periodont 19 : 128, 1948. (Mackenzie, R. S.; Millard, H. D. dan)
- 45 — **Rudy, A.; Cohen, M. M.** : Oral Aspects of Diabetes Mellitus, New England. J. Med. 219 : 503, 1938. Thoma, H. K. Oral Pathology. 4. baskı. Mosby Comp., St. Louis, 1954.
- 46 — **Schlegel, D.; Zech, A. M.; Knecht, M.; Immich, H.; Althoff, J.; Mohr, V.** : Vergleichende Untersuchungen bei Stoffwechselstörungen am Zahn und Knochen der Ratte. Dtsch Zahnaerztl. Z. 7 : 728-732, 1968.
- 47 — **Schliack, V.** : Kohlenhydratstoffwechselstörungen. «Innere Medizin. Ed. : Brüsckie, G. Schulz, F. H.» içinde. Gustav Fischer Verlag, Stuttgart, 1971.
- 48 — **Schroeder, H. E.; Theilade, J.** : Electron Microscopy of normal human gingival Epithelium. J. Periodont. Res. 1 : 95-119, 1966.
- 49 — **Schuster, L.** : Klinisch-experimentelle Versuche zur Erfassung pathophysiolo-

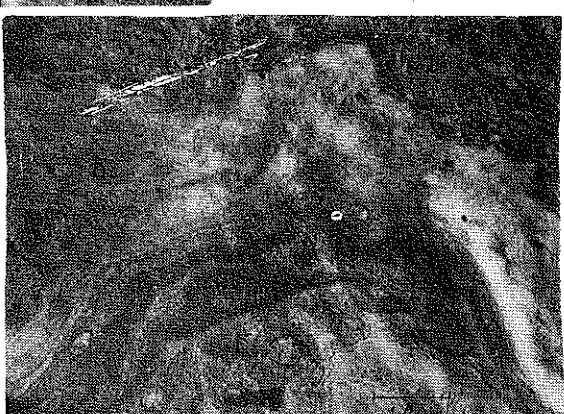
- gischer Abläufe im alveolar-mukösen Kapillargebiet von Diabetikern mit Hilfe des Radiojod-Resorptionstestes. Dtsch. Zahnaerztl. Z. 10 : 825-832, 1960.
- 50 — **Sitte, H.** : Feinstruktur der Zellgrenzen. «Transport und Funktion intracellulärer Elektrolyte» Symposium in Schüren, Juni 1967 Ed. : F. Krück içinde. Urban schwarzberg, München-Berlin-Wien, 1967.
- 51 — **Smith, J. C.** : Gingival Epithelium. «Biology of the Periodontium. Ed. : Melcher, H. A.; Bowen, H. W.» içinde. Academic Press, London, New York, 1969.
- 52 — **Snell, R. S.** : The fate of epidermal desmosomes in mammalian skin. Z. Zellforsch. 66 : 41-487, 1965 (Campbell, R. B.; Campbell, J. H. dan).
- 53 — **Stahl, S. S.** : Roentgenographic and bacteriologic aspects of periodontal changes in diabetes. J. Periodont. 19 : 130, 1948 (Mackenzie, R. S.; Millard, H. D. den).
- 54 — **Ulrich, K. H.** : Vorkommen und die Ursachen der Parodontopathien beim jugendlichen Diabetes Mellitus. Dtsch. Zahnaerztl. Z. 4 : 221, 1962.
- 55 — **Vaccari, A.** : Le alterazione buco-dentaire nel diabete, Stomatol. 36 : 398, 1938.
- 56 — **Wannenmacher, E.** : Frühdiagnose, Frühbehandlung und prognostische Beurteilung der marginalen Parodontopathien. Dtsch. Zahnaerztl. Z. 3 : 205-217, 1959.
- 57 — **Hogan, M. J. ve Zimmerman L. E. (Ed.)** : Ophtalmic Pathology. 3. Baskı. Saunders Comp., Philadelphia-London, 1968.

Resimlerdeki Kısaltmalar

Bm	: Bazalmembran	Ko	: Kollagen fibril
Ds	: Desmozom	Lu	: Lumen
Er	: Eritrosit	Mi	: Mitokondri
En	: Endotel hücresi	N	: Nukleus
EnR	: Endoplasmik Retikulum	Nu	: Nukleolus
F	: Fibroblast	R	: Ribozom
Go	: Golgi Apareyi	Pe	: Perisit
Gr	: Granül	SfH	: Süperfisiyal hücre
In	: İntersellüler aralık	TrH	: Transisionel hücre
Ha	: Havers kanalı	Tp	: Tutucu plak
Hd	: Hemidesmozom	Va	: Vakuol
		Ve	: Vezikül



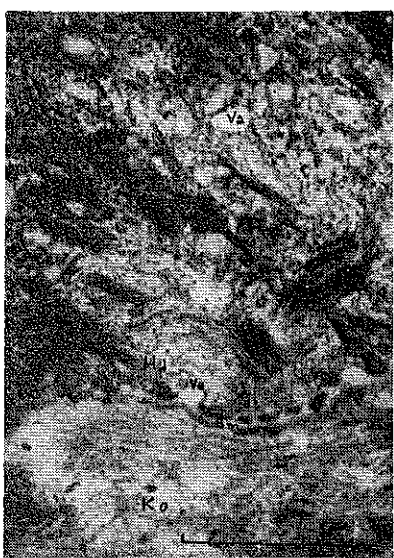
Resim 1 —. Diabetik epitel basal tabaka - bağ dokusu ilişkisi. Glutaraldehit - Osmium tetraoksit fiksasyonu.



Resim 2 —. Diabetik epitel basal hücre - bağ dokusu ilişkisi. Hemidesmozom yapısı. Bazalmembran. Glutaraldehit - Osmiumtetraoksit fiksasyonu.



Resim 3 —. Diabetik epitel bazal hücre - bağ dokusu ilişkisi. Hemidesmozom yapısı. Bazalmembran. Glutaraldehit - Osmiumtetraoksit fiksasyon.



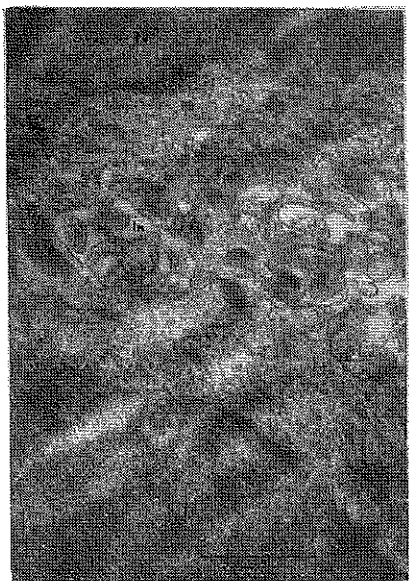
Resim 4 —. Diabetik epitel bazal hücre - bağ dokusu ilişkisi. Hemidesmozom yapısı. Bazalmembran. Glutaraldehit - osmiumtetraoksit fiksasyonu.



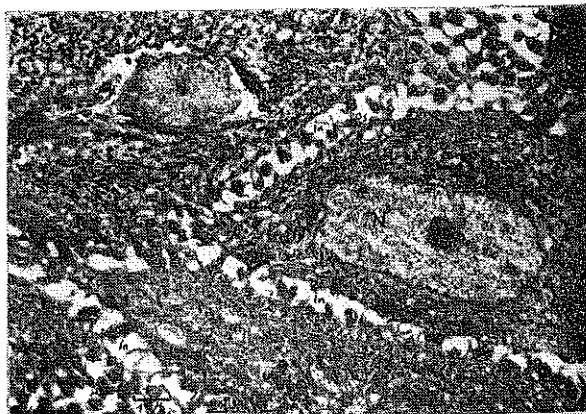
Resim 5 — Diabetik epitel bazal hücreleri. Bazalmembran. Bağ dokusu.
Glutaraldehit - osmiumtetroksit fiksasyonu.



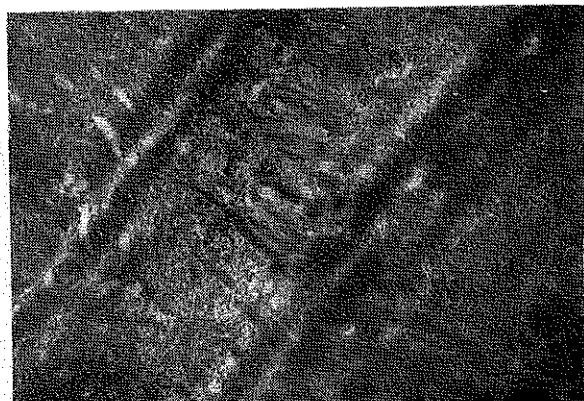
Resim 6 — Diabetik epitel bazal hücresi. Nüve. Sitoplasmik oluşum ve mikrovilluslar. Hücreler arası tutunma. Glutaraldehit - osmiumtetroksit fiksasyonu.



Resim 7 — İki diabetik bazal hücre arası ilişki. Mikrovilluslar. Desmozomlar. Nukleus ve Karyolem. Glutaraldehit - osmiumtetroksit fiksasyonu.



Resim 8 — Diabetik epitel parabazal tabaka hücreleri. Mikrovillus ve desmosomların savya olması. Entersellüler aralığın belirlenmesi. Glutaraldehit - Osmiumtetroksit fiksasyonu. Uraniłasetat ile kontrastlaşturma.



Resim 9 — Diabetik epitelde alt spongioza tabakasında desmozomlar. Glutaraldehit - osmium-tetroksit fiksasyonu. Uraniłasetat ile kontrastlaşturma.



Resim 10 — Diabetik epitelde alt spongioza tabakasında desmozomlar. X-işareti desmozomda desmozom ünitesinin bütün elemanlarını (Lamelleşme gösteren interdesmozomal aralık, tutucu pläklar, tutucu pläklere dik açılarla gelen tonofibriller demetleri) izlemek olagandır. Glutaraldehitosmiumtetroksit fiksasyonu. Uraniłasetat ile kontrastlaşturma.



Resim 11 — Diabetik dişeti epitelinde alt spongioza tabakasında desmozomlar. X- işaretli desmozomlarda lamelleşmiş interdesmozomal aralık, tutucu plâklar ve tonofibriller demetlerinin enine kesitleri belirlidir. Glutaraldehit osmiumtetraoksit fiksasyonu.



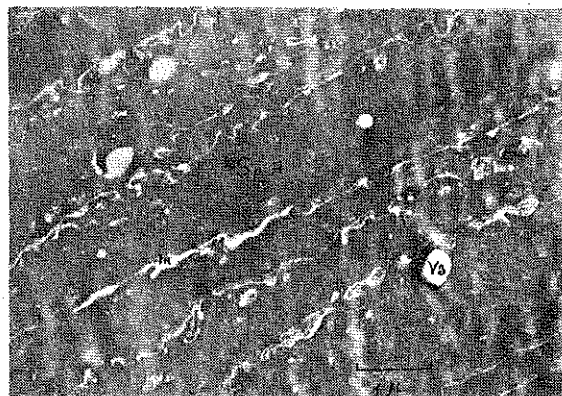
Resim 12 — Diabetik gingival epitede üst spongioza hücresi Glutaraldehit - osmiumtetraoksit fiksasyonu. Uranilasetat ile kontraslaştırma.



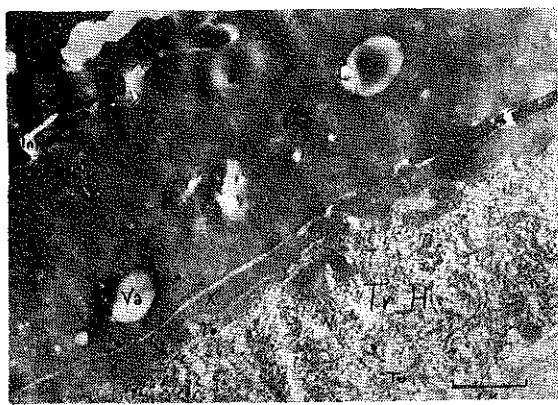
Resim 13 — Diabetik gingival epitede üst spongioza tabakasında mikrovillusların ve interdesmozomal lamellerin sayıca azalması. Glutaraldehit - Osmiumtetraoksit fiksasyonu. Uranilasetat ile kontraslaştırma.



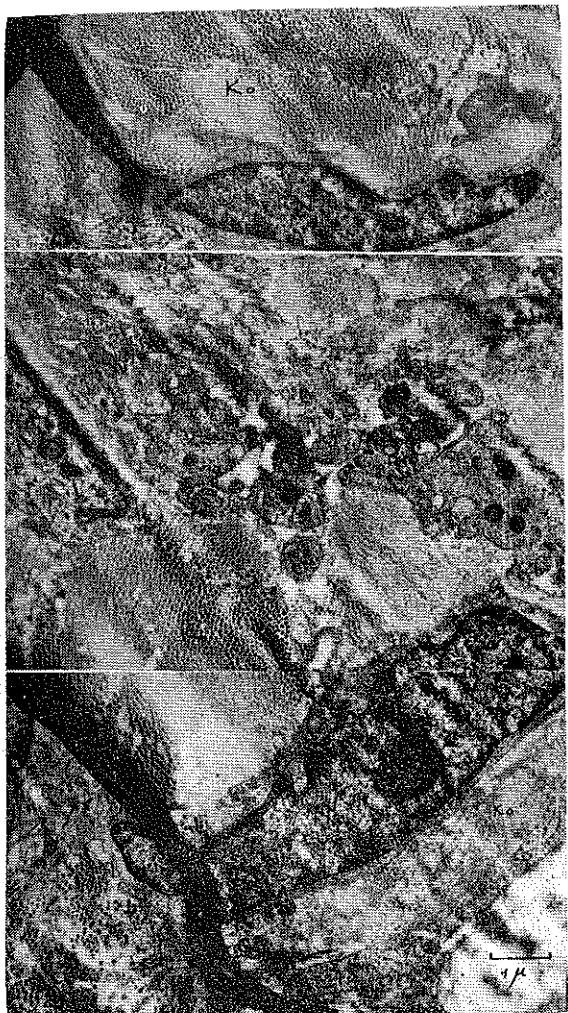
Resim 14 — Diabetik gingival epitelde üst spongioza, transitorysl ve süperfisiyel hücreler. Glutaraldehit - osmiumtetroksit fiksasyonu.



Resim 15 — Diabetik dişeti epi- teli superfisiyel tabakası. Gluta- raldehit-Osmiumtetroksit fik- sasyonu.



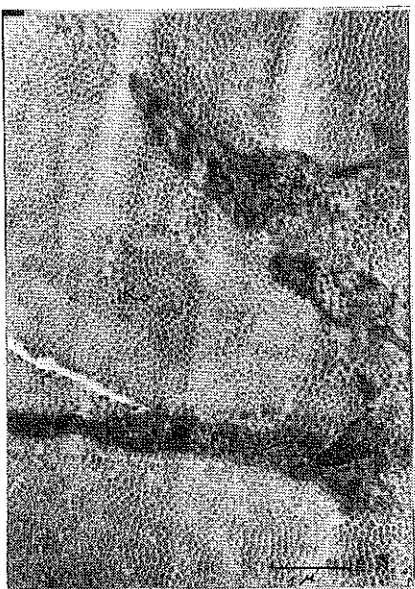
Resim 16 — Diabetik dişeti epi-
telinde transisionel ve superfisi-
yel hücre ilişkisi. X- işaretli yer-
lerde asimetrik desmozom yapı-
sı belirlidir. Glutaraldehit-Osmi-
umtetraoksit fiksasyonu. Urani-
lasetat ile kontrastlaştırma.



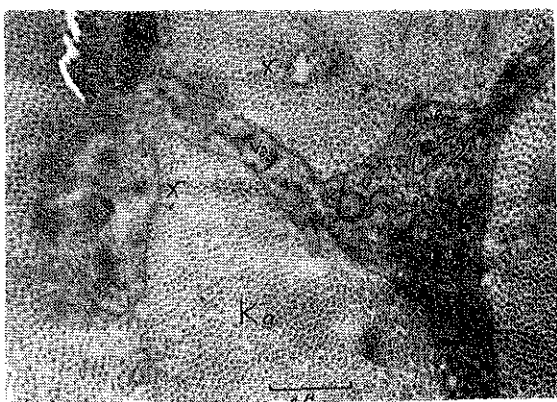
Resim 17— Diabetik dişeti bağ-
dokusu. Ara madde içinde kolla-
gen fibril ve fibroblastlar. Gluta-
raldehit-Osmiumtetraoksit fiksasyonu.
Uranilasetat ile kont-
rastlaştırma.



Resim 18 — Diabetik gingivada fibroblast hücrel. Glutaraldehit . Osmiumtetraoksit fiksasyonu. Uranilasetat ile kontrastlaşturma.



Resim 19 — Diabetik gingivada Fibroblast hüresinin protoplasmik uzantısı. Glutaraldehit . Osmiumtetraoksit fiksasyonu. Uranilasetat ile kontrastlaşturma.



Resim 20 — Diabetik gingivada fibroblast ve X-işareti bölgelerde krinositoz olayı ile protofibrilerin hücre dışına bırakılması Glutaraldehit . Osmiumtetraoksit fiksasyonu. Uranilasetat ile kontrastlaşturma.



Resim 21 — Diabetik gingivada monositler. Glutaraldehit . Osmiumtetraoksit fiksasyonu. Uranilasetat ile kontrastlaşturma.



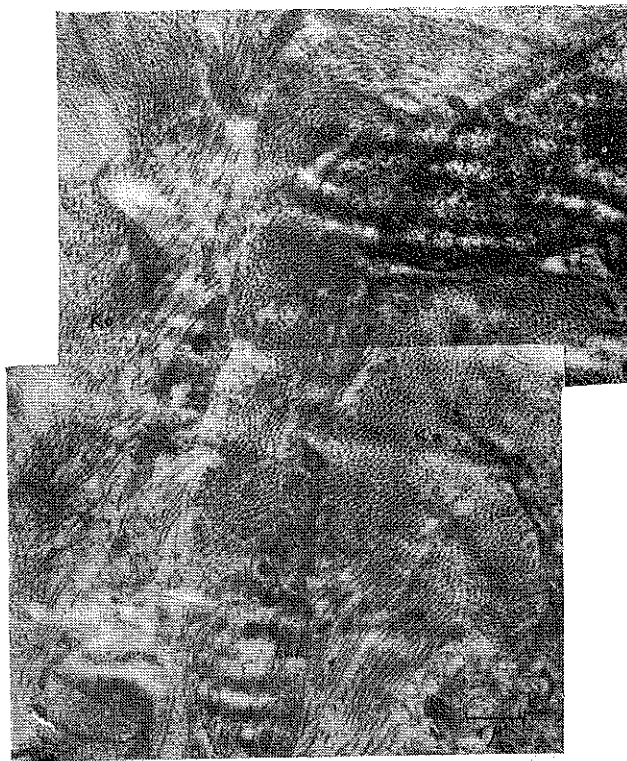
Resim 22 — Diabetik gingivada plazmosit. Glutaraldehit-Osmiumtetasetat ile kontrastlaştırma.



Resim 23 — Diabetik gingivada lenfositler. Glutaraldehit-Osmiumtetasetat fiksasyonu. Urani-asetat ile kontrastlaştırma.

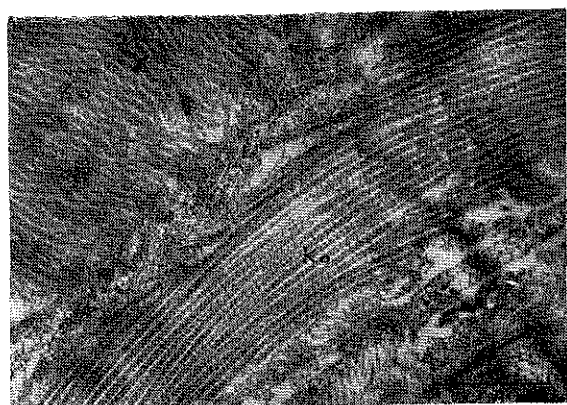


Resim 24 — Diabetik gingiva bağ dokusunda Lenfosit ve bol vakuollü histiositler. Glutaraldehit - Osmiumtetasetat fiksasyonu. Uranil-asetat ile kontrastlaştırma.



Resim 25 — Diabetik gingivada enine ve uzunlamasına kesilmiş kollagen fibriller. Glutaraldehit - Osmiumtetraoksit fiksasyonu. Uranilasetat ile kontrastlaştırılmıştır.

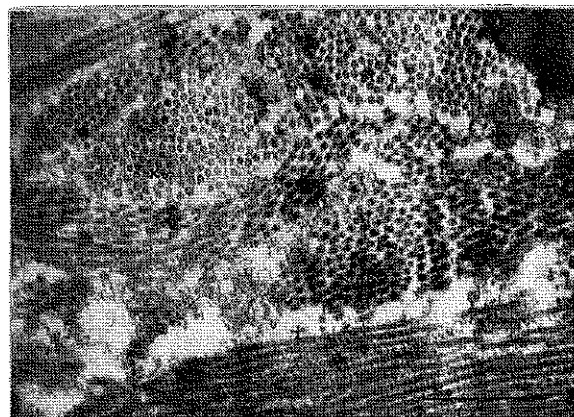
Resim 25 — Diabetik gingivada enine ve uzunlamasına kesilmiş kollagen fibriller. Glutaraldehit - Osmiumtetraoksit fiksasyonu. Uranilasetat ile kontrastlaştırılmıştır.



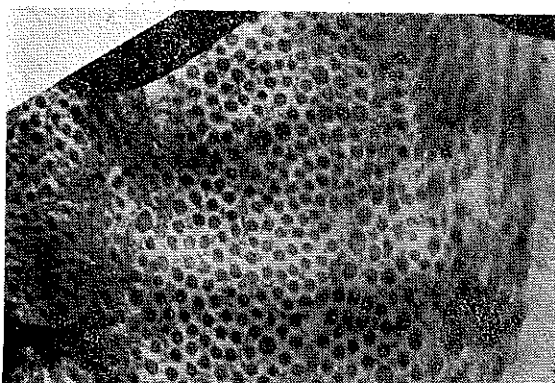
Resim 26 — Diabetik gingivada kollagen fibrillerde 640 \AA° periyodik enine çizgilenme (Long spacing filament) ve bu çizgiler arasında tekrar enine çizgilenme (Long spacing segment) ler. Glutaraldehit - Osmiumtetraoksit fiksasyonu. Uranilasetat ile kontrastlaştırılmıştır.



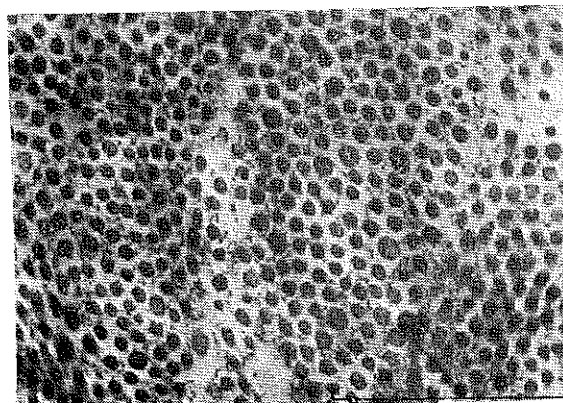
Resim 27 — Diabetik gingivada kollagen fibrillerin çeşitli kesitleri. Glutaraldehit - Osmiumtetroksit fiksasyonu. Uranilasetat ile kontrastlaşturma.



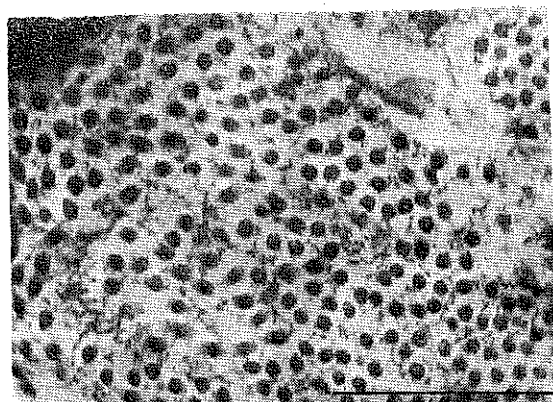
Resim 28 — Diabetik gingival bağ dokusu esas maddesinde ve özellikle interfibriller yapıştırıcı maddede retiküler ve granüler degenerasyon. Kollagen liflerde disorganizasyonu Glutaraldehit - Osmiumtetroksit fiksasyonu. Uranilasetat ile kontrastlaşturma.



Resim 29 — Diabetik gingival bağ dokusu interfibriller yapıştırıcı maddede retiküler ve granüler degenerasyon. Kollagen fibrillerin çaplarında büyük farklar. Glutaraldehit - Osmiumtetroksit fiksasyonu. Uranilasetat ile kontrastlaşturma.



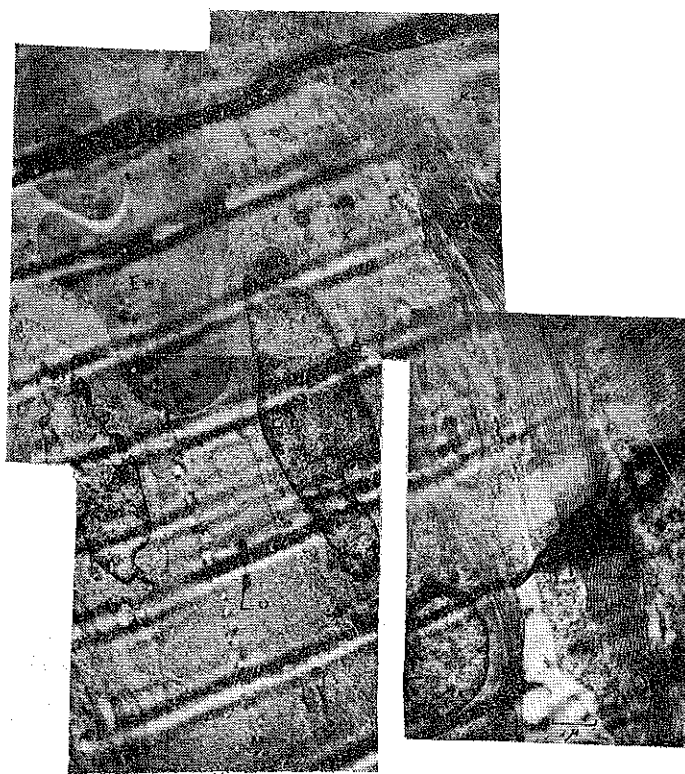
Resim 30 — Diabetik gingival bağ dokusu interfibriller yapıştırıcı maddede retiküler ve granüler degenerasyon. Kollagen fibrillerin çaplarında büyük farklılar. Glutaraldehit - Osmiumtetraksofit fiksasyonu. Uranitasetat ile kontrastlaştırma.



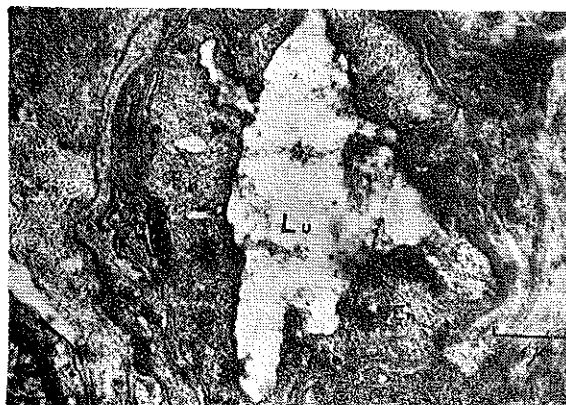
Resim 31 — Diabetik insan gingival bağ dokusu interfibriller yapıştırıcı maddede retiküler ve granüler degenerasyon. Glutaraldehit - Osmiumtetraksofit fiksasyon. Uranilasetat ile kontrastlaştırma.



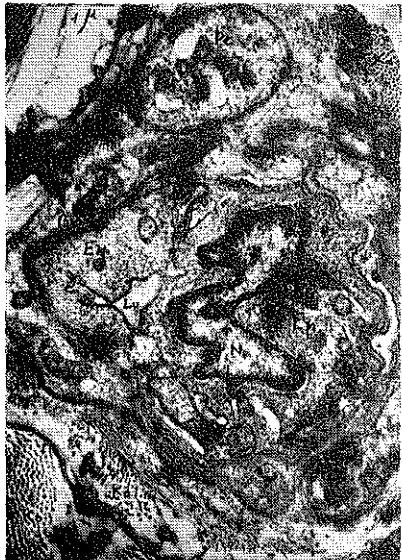
Resim 32 — Diabetik insan gingiva bağ dokusu esas maddede ve interfibriller yapıştırıcı maddede retiküler ve granüler degenerasyon. Kollagen liflerde disorganizasyon. Glutaraldehit - Osmiumtetroksit fiksasyonu. Uranilasetat ile kontrastlaştırma.



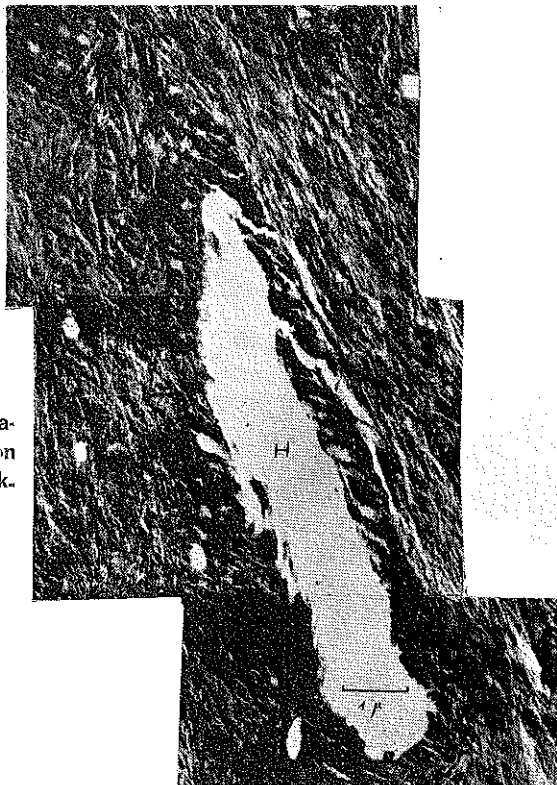
Resim 33 — Diabetik insan gingivasında uzun eksenine paralel kesilmiş bir kapiller. x - işaretli alanlarda bağ dokusunun esas maddesinde granüler ve retiküler bir degenerasyon vardır. Glutaraldehit - Osmiumtetraoksit fiksasyonu. Uranilasetat ile kontrastlaştırma.



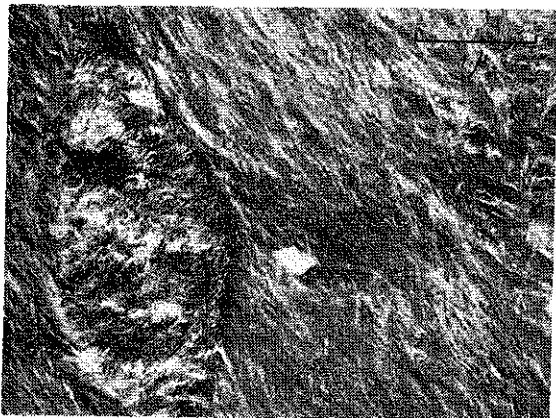
Resim 34 — Diabetik insan gingivasında enine kesilmiş bir kapiller. x- işaretli alanda bağ dokusu esas maddesi ve interfibriller yapıştırıcı maddesi granüler ve retiküler degenerasyonu vardır. Kapiller bazal membranı kalınlaşma göstermemektedir. Glutaraldehit - Osmiumtetraoksit fiksasyonu. Uranilasetat ile kontraslaştırma.



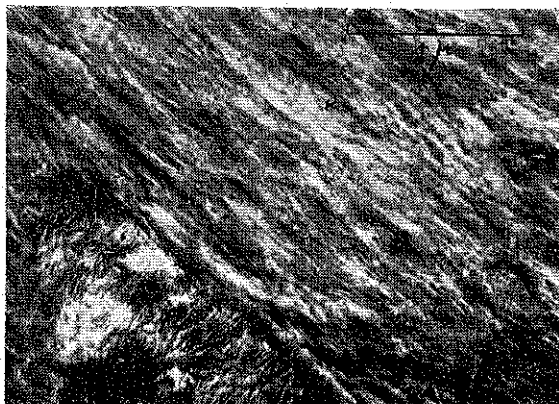
Resim 35 — Diabetik insan gingivasyonda enine kesilmiş bir kapiller, x — işaretli alanlarda interfibriller yapıstırıcı maddede retiküler ve granüler degenerasyon ve bununla ilgili kollagen fibril disorganisasyonu. Kapiller basalmembran kalınlaşma göstermemektedir. Glutaraldehit - Osmiumtetroksit fiksasyonu. Uraniasetat ile kontrastlaştırma.



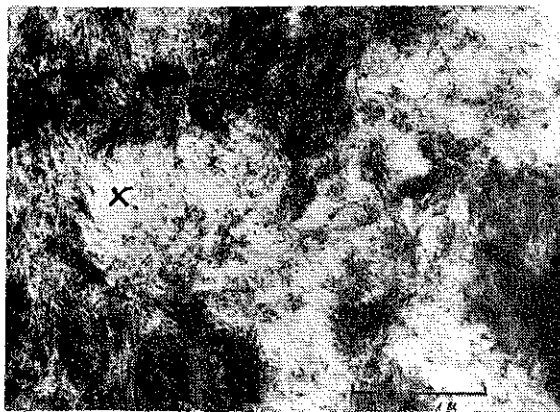
Resim 36 — Alloksan diabetli sincanının alveol kemiğinde normal bir osteon yapısı. Glutaraldehit - Osmiumtetroksit fiksasyonu.



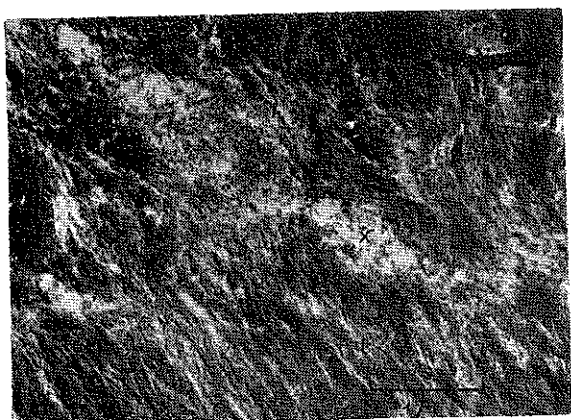
Resim 37 — Alloksan ile dia-betik hale getirilen sıçanın al-ved kemигinde normal kalsifi-kasyon gösteren alan. Glutaral-dehit - Osmiumtetroksit fiksasyonu.



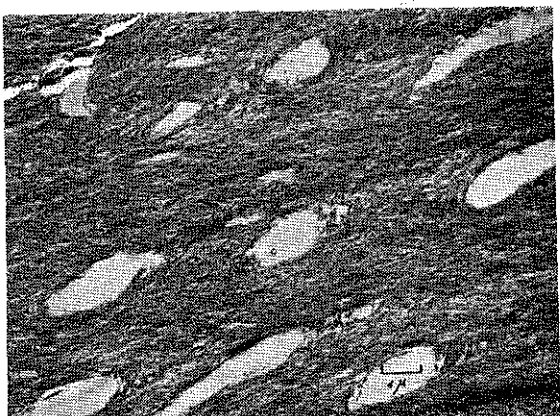
Resim 38 — Alloksan ile dia-betik hale getirilen sıçanın al-veol kemигinde normal kalsifi-kasyon gösteren bir alan. Kolla-gen fibrillerin uzun eksenlerine paralel çökelmiş Ca-apatit kris-talleri belirlidir. Glutaraldehit - Osmiumtetroksit fiksasyonu.



Resim 39 — Alloksan ile dia-betik hale getirilmiş sıçanın al-veol kemигinde x. işaretli alan-larda kemik struktürü bozulmuş-tur. Dekalsifikasyon vardır. Glutaraldehit - Osmiumtetrooks-it fiksasyonu.



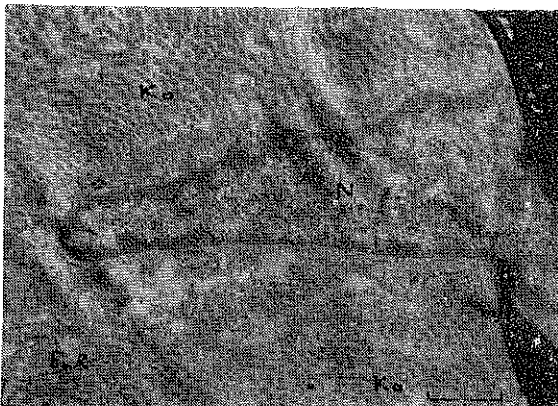
Resim 40 — Alloksan diabetli sıçanın alveol kemiğinde normal kemik yapısı arasında dekalsifikasyon gösteren alanlar. Bu alanlar x işaretlidir. Glutaraldehit - Osmiumtetraoksit fiksasyonu.



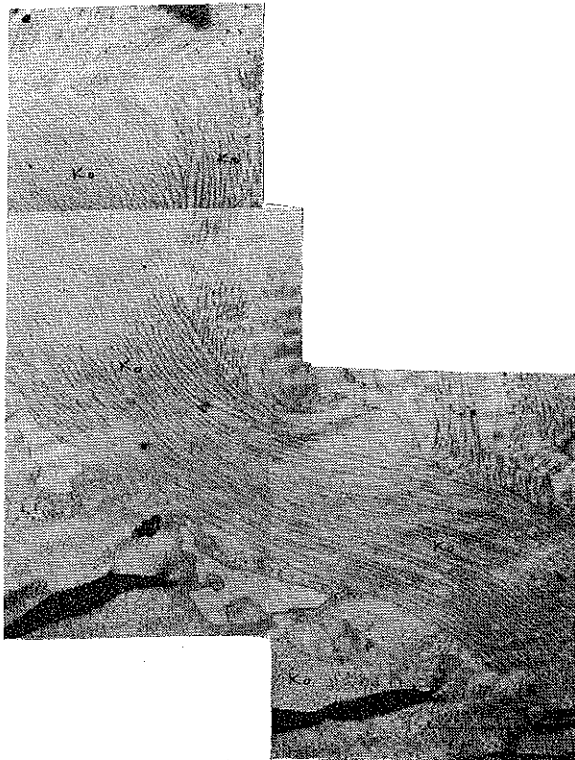
Resim 41 — Sağlıklı sıçanın alveol kemiğinde osteonlar. Glutaraldehit - Osmiumtetraoksit fiksasyonu.



Resim 42 — Sağlıklı sıçanın alveol kemiğin. Glutaraldehit - Osmiumtetraoksit fiksasyonu.



Resim 43 — Sağlıklı insan ginvavasında bağ dokusu ve kollagen fibril ve lifler. Glutaraldehit - Osmiumtetroksit fiksasyonu. Uranilasetat ile kontrastlaşdırma.



Resim 44 — Sağlıklı insan ginvavasında bağ dokusu ve kollagen fibriller. Glutaraldehit - Os. müümptetraoksit fiksasyonu. Uranilasetat ile kontrastlaşdırma.